

# 量子計算ミニマム

筒井翔一郎

2022 年 2 月 4 日

## 概要

これは、ものすごい勢いで量子計算について学ぶためのノートです。

## 目次

1	overview	2
2	Notation	2
3	測定	3
3.1	射影測定 . . . . .	3
3.2	POVM . . . . .	4
4	量子ビットと演算	5
4.1	1 bit ユニタリー変換 . . . . .	5
4.2	2 level ユニタリー変換 . . . . .	7
4.3	2 bit ユニタリー変換 . . . . .	8
4.4	3 bit 以上のユニタリー変換 . . . . .	10
5	基本的な量子アルゴリズム	11
5.1	量子計算機で実行できる操作のまとめ . . . . .	11
5.2	アダマールテスト . . . . .	11
5.3	量子フーリエ変換 . . . . .	13
5.4	位相推定アルゴリズム . . . . .	16
5.5	Shor の素因数分解アルゴリズム . . . . .	17
6	誤り訂正	20
6.1	線形符号による古典誤り訂正 . . . . .	20
6.2	量子誤り訂正 . . . . .	22
6.3	スタビライザー符号 . . . . .	24
6.4	surface code . . . . .	24
7	参考文献	24

## 1 overview

$N$  スピン系を考える。これを古典的に扱う場合、状態ベクトルは  $N$  次元。量的には  $2^N$  次元。古典計算機で扱おうとすると、メモリも計算量も大変なことになってしまう。例えば、 $N = 28$  の場合、 $2^{28} * (8 * 2) \sim 4.3 \times 10^9$  byte. 量子コンピュータでは  $2^N$  の自由度を直に扱うので、量子系のシミュレーションに向いている。現在実現しているのは 100bit の量子コンピュータ。もう十分では？ と思いきや、エラー訂正を実装しようすると、100 万以上必要量子ムーアの法則が成り立つとすると、14 年後には 100 万 bit...

NISQ(Noisy Intermediate-Scale Quantum) computer

FTQC(Fault Tolerant Quantum Computer)

## 2 Notation

Qubit

$$|0\rangle = \begin{pmatrix} 1 \\ 0 \end{pmatrix}, \quad |1\rangle = \begin{pmatrix} 0 \\ 1 \end{pmatrix}, \quad (1)$$

Kronecker 積

$$A \otimes B \equiv \begin{pmatrix} a_{11}B & \dots & a_{1N}B \\ \vdots & \ddots & \vdots \\ a_{N1}B & \dots & a_{NN}B \end{pmatrix} \quad (2)$$

Pauli ゲート

$$X = \begin{pmatrix} 0 & 1 \\ 1 & 0 \end{pmatrix}, \quad Y = \begin{pmatrix} 0 & -i \\ i & 0 \end{pmatrix}, \quad Z = \begin{pmatrix} 1 & 0 \\ 0 & -1 \end{pmatrix} \quad (3)$$

Hadamard ゲート

$$H = \frac{1}{\sqrt{2}} \begin{pmatrix} 1 & 1 \\ 1 & -1 \end{pmatrix} \quad (4)$$

一般位相ゲート

$$R_l = \begin{pmatrix} 1 & 0 \\ 0 & e^{i\frac{2\pi}{2^l}} \end{pmatrix} \quad (5)$$

整数  $k$  の 2 進数表記

$$(k)_2 = i_1 i_2 \dots, \quad i_n = 0, 1 \quad (6)$$

例

$$(0)_2 = 0 \quad (7)$$

$$(1)_2 = 1 \quad (8)$$

$$(2)_2 = 10 \quad (9)$$

$$(3)_2 = 11 \quad (10)$$

$$(4)_2 = 100 \quad (11)$$

$$(5)_2 = 101 \quad (12)$$

$$(6)_2 = 110 \quad (13)$$

$$(7)_2 = 111 \quad (14)$$

$$(8)_2 = 1000 \quad (15)$$

$$(9)_2 = 1001 \quad (16)$$

$$(10)_2 = 1010 \quad (17)$$

$$(11)_2 = 1011 \quad (18)$$

$$(12)_2 = 1100 \quad (19)$$

$$(13)_2 = 1101 \quad (20)$$

小数を含む 2 進数表記

$$(k)_2 = k_1 \cdots k_{l-1}.k_l \cdots k_n = \cdots + k_{l-1}2^0 + \frac{k_l}{2^1} + \frac{k_{l+1}}{2^2} + \cdots + \frac{k_n}{2^{n-l+1}} \quad (21)$$

$(k)_2 = k_1 k_2 \cdots k_n$  のとき

$$k = k_1 2^{n-1} + k_2 2^{n-2} + \cdots + k_n 2^0 \quad (22)$$

例えば、

$$9 = 1 \times 2^3 + 0 \times 2^2 + 0 \times 2^1 + 1 \times 2^0 \quad (23)$$

### 3 測定

#### 3.1 射影測定

$A$  を物理量、すなわちエルミート演算子とする。 $A$  の固有値と固有ベクトルをそれぞれ  $a$ ,  $|a\rangle$  とする。 $a$  は離散的な値を取るものとする。

$$A|a\rangle = a|a\rangle \quad (24)$$

量子力学における測定とは、 $A$  の固有値を測る行為のことである。一般に、測定のたびに得られる固有値は異なり、状態  $|\psi\rangle$  に対して  $A$  を測定して、固有値  $a$  が得られる確率は

$$P_a = ||a\rangle \langle a|\psi\rangle|^2 \quad (25)$$

で与えられる。測定が行われた後の状態は

$$\frac{1}{||a\rangle \langle a|\psi\rangle|} |a\rangle \langle a|\psi\rangle \quad (26)$$

となる。

例えば、状態

$$|\psi\rangle = \alpha|0\rangle + \beta|1\rangle, \quad |\alpha|^2 + |\beta|^2 = 1 \quad (27)$$

に対して、

$$Z = \begin{pmatrix} 1 & 0 \\ 0 & -1 \end{pmatrix} \quad (28)$$

の固有値を測定することを考える。 $|0\rangle, |1\rangle$  は  $Z$  の固有状態である。

$$Z|0\rangle = |0\rangle, \quad Z|1\rangle = -|1\rangle \quad (29)$$

よって、測定値が 1 である確率は

$$P_0 1 = |\langle 0|\psi\rangle|^2 = |\langle 0|\psi\rangle|^2 = |\alpha|^2 \quad (30)$$

であり、測定値が  $-1$  である確率は

$$P_{-1} = |\beta|^2 \quad (31)$$

である。この測定は頻繁に登場するが、 $|\psi\rangle$  が  $|0\rangle$  or  $|1\rangle$  のどちらになっているかを測定する、という言い方をする場合がある。

また、状態空間がテンソル積で与えられていて、部分系のみを測定するということも可能である。状態  $|\psi\rangle \otimes |\psi'\rangle$  に対して、1 番目の部分系に作用する演算子  $A$  を測定して、固有値  $a$  が得られる確率は

$$P_a = |(\langle a| \otimes I)|\psi\rangle \otimes |\psi'\rangle|^2 = |\langle a|\psi\rangle \otimes |\psi'\rangle|^2 \quad (32)$$

で与えられる。

## 3.2 POVM

ここでは有限次元の Hilbert 空間のみ考える。半正定値行列のセット  $\{F_i\}$  で

$$\sum_i F_i = I \quad (33)$$

を満たすようなものを positive operator-valued measure (POVM) と呼ぶ。量子状態  $\rho$  を測定して、出力  $i$  が得られる確率は

$$\text{tr}(\rho F_i) \quad (34)$$

で与えられる。

例として、純粋状態

$$\rho = |\psi\rangle \langle \psi|, \quad |\psi\rangle = \frac{\alpha}{|\alpha|^2 + |\beta|^2} |0\rangle + \frac{\beta}{|\alpha|^2 + |\beta|^2} |1\rangle \quad (35)$$

と、POVM

$$F_0 = \frac{1+Z}{2} = \begin{pmatrix} 1 & 0 \\ 0 & 0 \end{pmatrix}, \quad F_1 = \frac{1-Z}{2} = \begin{pmatrix} 0 & 0 \\ 0 & 1 \end{pmatrix}, \quad (36)$$

を考える。測定によって出力 0 が得られる確率は

$$\text{tr}(\rho F_0) = \text{tr}(|\psi\rangle\langle\psi| F_0) = \langle\psi| F_0 |\psi\rangle = \frac{\alpha^2}{|\alpha|^2 + |\beta|^2} \quad (37)$$

出力 1 が得られる確率は

$$\text{tr}(\rho F_1) = \text{tr}(|\psi\rangle\langle\psi| F_1) = \langle\psi| F_1 |\psi\rangle = \frac{\beta^2}{|\alpha|^2 + |\beta|^2} \quad (38)$$

である。これはいわゆる Born の規則である。

## 4 量子ビットと演算

古典計算機では、0, 1 の 2 値を取りうる bit たちと、NOT, AND, OR などの論理演算を電子回路を用いて実装でき、これらを駆使して様々なアルゴリズムを構成している。一方量子計算機では、bit の役割を果たすのは内部自由度が 2 の量子論的な粒子である。これを qubit と呼ぶ。qubit の振る舞いは量子力学によって記述される。

1. ひとつの qubit の状態は、 $\mathbb{C}$  上の 2 次元 Hilbert 空間の元で表すことができる。
2. 複数の qubit がある場合はそれらのテンソル積で表現される。(例えば、 $N$  個の qubit 系は  $2^N$  次元の Hilbert 空間の元である。)
3. qubit 系が孤立しているとき、qubit 系の時間変化はユニタリー変換を用いて記述される。

量子計算機では、qubit 系にユニタリー変換を繰り返し作用させることで、所望のアルゴリズムを構成する。ユニタリー変換しか許さないというのは強力な縛りで、古典計算機とはずいぶん様子が異なる。(例えば AND を考えてみよ。)

古典的な計算においては、任意の論理関数が NOT と AND の組み合わせで表現できることが証明でき、このとき組  $\{\text{NOT}, \text{AND}\}$  は万能であるというのだった。このような性質のために、どんなに複雑な操作も、単純な論理演算の組み合わせで表現することができる。これは実機を作る上で重要である。量子計算にも同様の性質がある。

### 4.1 1 bit ユニタリー変換

ここでは 1 qubit 系とそれに作用するユニタリー変換を考える。1 qubit の状態は一般に、

$$|\psi\rangle = \alpha|0\rangle + \beta|1\rangle \quad (39)$$

と表すことができる。ここで、

$$|0\rangle = \begin{pmatrix} 1 \\ 0 \end{pmatrix}, \quad |1\rangle = \begin{pmatrix} 0 \\ 1 \end{pmatrix}, \quad (40)$$

である。これらを計算機基底と呼ぶ。また、 $\alpha, \beta$  は  $|\alpha|^2 + |\beta|^2 = 1$  を満たす複素数で、しばしば

$$\alpha = \cos \frac{\theta}{2}, \quad \beta = e^{i\phi} \sin \frac{\theta}{2} \quad (41)$$

とパラメトライズする。 $\theta, \phi$  は実数である。これらを指定すると、半径 1 の球面上の一点が指定される。この球面のことを Bloch 球と呼ぶ。1 qubit 状態に作用するユニタリー変換は、サイズ 2 の行列で表現することができる。

$$U = \begin{pmatrix} u_{11} & u_{12} \\ u_{21} & u_{22} \end{pmatrix}, \quad u_{ij} \in \mathbb{C} \quad (42)$$

(この独立なパラメータの数は 4) ユニタリー変換は、Bloch 球の点を移す変換になっているはずである。 $x, y, z$  軸周りの  $\theta$  回転は

$$e^{-i(\theta/2)A} = \cos \frac{\theta}{2} I - i \sin \frac{\theta}{2} A, \quad A = X, Y, Z \quad (43)$$

で表される。ここで、

$$X = \begin{pmatrix} 0 & 1 \\ 1 & 0 \end{pmatrix}, \quad Y = \begin{pmatrix} 0 & -i \\ i & 0 \end{pmatrix}, \quad Z = \begin{pmatrix} 1 & 0 \\ 0 & -1 \end{pmatrix} \quad (44)$$

である。これらを Pauli 行列 (ゲート) と呼び、以下の性質がある。

$$X^2 = Y^2 = Z^2 = I \quad (45)$$

$$XY - YX = iZ, \quad YZ - ZY = iX, \quad ZX - XZ = iY, \quad (46)$$

$$XY + YX = YZ + ZY = ZX + XZ = 0 \quad (47)$$

実際例えば、

$$e^{-i(\theta'/2)Z} |\psi\rangle = \left( \cos \frac{\theta'}{2} I - i \sin \frac{\theta'}{2} Z \right) \left( \cos \frac{\theta}{2} |0\rangle + e^{i\phi} \sin \frac{\theta}{2} |1\rangle \right) \quad (48)$$

$$= \cos \frac{\theta'}{2} \cos \frac{\theta}{2} |0\rangle + \cos \frac{\theta'}{2} e^{i\phi} \sin \frac{\theta}{2} |1\rangle - i \sin \frac{\theta'}{2} \cos \frac{\theta}{2} |0\rangle + i \sin \frac{\theta'}{2} e^{i\phi} \sin \frac{\theta}{2} |1\rangle \quad (49)$$

$$= e^{-i\theta'/2} \cos \frac{\theta}{2} |0\rangle + e^{i\theta'/2} e^{i\phi} \sin \frac{\theta}{2} |1\rangle \quad (50)$$

$$= e^{-i\theta'/2} \left( \cos \frac{\theta}{2} |0\rangle + e^{i\phi+\theta'} \sin \frac{\theta}{2} |1\rangle \right) \quad (51)$$

などにより、全体の位相を除いて確かに回転になっていることが確認できる。よって一般に、

$$U = e^{i\alpha} e^{-i(\beta/2)Z} e^{-i(\gamma/2)Y} e^{-i(\delta/2)X} \quad (52)$$

のように表すことができる。 $\beta, \gamma, \delta$  は Euler 角である。(パラメータが 4 つ)

このような  $U$  を少数のユニタリー変換の積で表すことができるのだろうか？ 実は次が示せる。

- $H, T$  の積によって、任意の  $U$  をいくらでも精度良く近似できる。

ここで、

$$H = \frac{1}{\sqrt{2}} \begin{pmatrix} 1 & 1 \\ 1 & -1 \end{pmatrix}, \quad T = e^{-i(\pi/8)Z} \quad (53)$$

である。 $H$  を Hadamard ゲートと呼ぶ。これを示そう。まず Hadamard ゲートについて

$$H^{-1} = H, \quad X = HZH \quad (54)$$

が成り立つことに注意すれば、

$$HTH = H e^{-i(\pi/8)Z} H = H \left( \cos \frac{\pi}{8} I - i \sin \frac{\pi}{8} Z \right) H = \cos \frac{\pi}{8} I - i \sin \frac{\pi}{8} X = e^{-i(\pi/8)X} \quad (55)$$

である。ここで、 $V = THTH$  を考え、これがある軸回りの回転を引き起こすことを見る。一般に、 $\vec{n} = (n_x, n_y, n_z)$  軸回りの  $\theta$  回転は

$$e^{-i\theta\vec{n}\cdot\vec{\sigma}/2} = 1 + \left( -i\frac{\theta}{2}\vec{n}\cdot\vec{\sigma} \right) + \frac{1}{2} \left( -i\frac{\theta}{2}\vec{n}\cdot\vec{\sigma} \right)^2 + \frac{1}{3!} \left( -i\frac{\theta}{2}\vec{n}\cdot\vec{\sigma} \right)^3 + \dots \quad (56)$$

$$= 1 - i \left( \frac{\theta}{2} \right) \vec{n}\cdot\vec{\sigma} - \frac{1}{2} \left( \frac{\theta}{2} \right)^2 + i \frac{1}{3!} \left( \frac{\theta}{2} \right)^3 \vec{n}\cdot\vec{\sigma} + \dots \quad (57)$$

$$= \cos \frac{\theta}{2} I - i \sin \frac{\theta}{2} (n_x X + n_y Y + n_z Z) \quad (58)$$

と表されることに注意する。ただしここで、

$$(\vec{n}\cdot\vec{\sigma})^2 = (n_x X + n_y Y + n_z Z)^2 \quad (59)$$

$$= n_x^2 X^2 + n_y^2 Y^2 + n_z^2 Z^2 + n_x n_y (XY + YX) + n_y n_z (YZ + ZY) + n_z n_x (ZX + XZ) \quad (60)$$

$$= I \quad (61)$$

を用いた。

$$V = e^{-i(\pi/8)Z} e^{-i(\pi/8)X} \quad (62)$$

$$= \left( \cos \frac{\pi}{8} I - i \sin \frac{\pi}{8} Z \right) \left( \cos \frac{\pi}{8} I - i \sin \frac{\pi}{8} X \right) \quad (63)$$

$$= \cos^2 \frac{\pi}{8} I - \sin^2 \frac{\pi}{8} ZX - i \cos \frac{\pi}{8} \sin \frac{\pi}{8} Z - i \cos \frac{\pi}{8} \sin \frac{\pi}{8} X \quad (64)$$

$$= \cos^2 \frac{\pi}{8} I - \sin^2 \frac{\pi}{8} (iY) - i \cos \frac{\pi}{8} \sin \frac{\pi}{8} Z - i \cos \frac{\pi}{8} \sin \frac{\pi}{8} X \quad (65)$$

$$= \cos^2 \frac{\pi}{8} I - i \sin \frac{\pi}{8} \left( \cos \frac{\pi}{8} X + \sin \frac{\pi}{8} Y + \cos \frac{\pi}{8} Z \right) \quad (66)$$

である。よって、 $V$  はある軸回りの回転で、その角度は

$$\theta = 2 \arccos \frac{2 + \sqrt{2}}{4} = \arccos \frac{2\sqrt{2} - 1}{4} \quad (67)$$

である。これは  $\pi$  の無理数倍だから、 $V$  を何度もかけると、この軸周りの任意の回転を任意の精度で近似できる。次に  $V' = HVH$  を考えると、また別の軸の周りの回転について同様のことが言える。以上を組み合わせることで証明終了。

ちなみに、 $\theta$  が  $\pi$  の無理数倍であることは、 $e^{2\pi i \theta}$  が  $x^4 + x^3 + \frac{1}{4}x^2 + x + 1$  という円分多項式でない多項式の根であることから従う。P. O. Boykin, T. Mor, M. Pulver, V. Roychowdhury, and F. Vatan: [arXiv:quant-ph/9906054](https://arxiv.org/abs/quant-ph/9906054) また、Solovay-Kitaev により、近似に必要なゲートの数は高々多項式オーダーであることが示されている。

## 4.2 2 level ユニタリー変換

1 bit に作用するユニタリー変換はサイズ 2 の行列であった。実は、どんなユニタリー変換も、実質サイズ 2 の行列の積で表すことができる。例として、

$$U = \begin{pmatrix} a & * & * \\ b & * & * \\ * & * & * \end{pmatrix} \quad (68)$$

を考える。ここで、2-level のユニタリー行列として

$$U_1 = \frac{1}{\sqrt{|a|^2 + |b|^2}} \begin{pmatrix} a^* & b^* & 0 \\ b & -a & 0 \\ 0 & 0 & 1 \end{pmatrix} \quad (69)$$

というものを考える。これがユニタリーであることは

$$U_1^{-1} = \frac{1}{\sqrt{|a|^2 + |b|^2}} \begin{pmatrix} a & b & 0 \\ b^* & -a^* & 0 \\ 0 & 0 & 1 \end{pmatrix} \quad (70)$$

から分かる。 $U_1$  を  $U$  かけると

$$U_1 U = \begin{pmatrix} * & * & * \\ 0 & * & * \\ * & * & * \end{pmatrix} \quad (71)$$

のようにある成分が 0 になる。同じようなことをもう一度やると、

$$U_2 U_1 U = \begin{pmatrix} 1 & * & * \\ 0 & c & d \\ 0 & e & f \end{pmatrix} \quad (72)$$

の形にできる。 $U_2 U_1 U$  はユニタリーだからこの段階で自動的に

$$U_2 U_1 U = \begin{pmatrix} 1 & 0 & 0 \\ 0 & c & d \\ 0 & e & f \end{pmatrix} \quad (73)$$

となっているはずである。最後に

$$U_3 = \begin{pmatrix} 1 & 0 & 0 \\ 0 & c & d \\ 0 & e & f \end{pmatrix}^{-1} \quad (74)$$

とおけば、 $U_3 U_2 U_1 U = I$  となる。よって、 $U = U_1^\dagger U_2^\dagger U_3^\dagger$  と分解できた。もっとサイズの大きな  $U$  についても同様の分解が可能である。

### 4.3 2 bit ユニタリー変換

前節の議論から、任意の 2 つの成分に作用するユニタリー変換が構成できれば十分だということが分かった。2 bit 系の場合についてこれが可能なことを示そう。2 bit 系の基底は  $|00\rangle, |01\rangle, |10\rangle, |11\rangle$  である。具体



的に計算してみると、

$$|00\rangle = \begin{pmatrix} 1 \\ 0 \end{pmatrix} \otimes \begin{pmatrix} 1 \\ 0 \end{pmatrix} = \begin{pmatrix} 1 \\ 0 \\ 0 \\ 0 \end{pmatrix} \quad (75)$$

$$|01\rangle = \begin{pmatrix} 1 \\ 0 \end{pmatrix} \otimes \begin{pmatrix} 0 \\ 1 \end{pmatrix} = \begin{pmatrix} 0 \\ 1 \\ 0 \\ 0 \end{pmatrix} \quad (76)$$

$$|10\rangle = \begin{pmatrix} 0 \\ 1 \end{pmatrix} \otimes \begin{pmatrix} 1 \\ 0 \end{pmatrix} = \begin{pmatrix} 0 \\ 0 \\ 1 \\ 0 \end{pmatrix} \quad (77)$$

$$|11\rangle = \begin{pmatrix} 0 \\ 1 \end{pmatrix} \otimes \begin{pmatrix} 0 \\ 1 \end{pmatrix} = \begin{pmatrix} 0 \\ 0 \\ 0 \\ 1 \end{pmatrix} \quad (78)$$

というものである。ここで  $\otimes$  は Kronecker 積

$$A \otimes B \equiv \begin{pmatrix} a_{11}B & \dots & a_{1N}B \\ \vdots & \ddots & \vdots \\ a_{N1}B & \dots & a_{NN}B \end{pmatrix} \quad (79)$$

である。ユニタリー変換として  $|10\rangle, |11\rangle$  だけに作用する

$$\Lambda(V) = \begin{pmatrix} 1 & 0 & 0 & 0 \\ 0 & 1 & 0 & 0 \\ 0 & 0 & a & b \\ 0 & 0 & c & d \end{pmatrix} \quad (80)$$

を考える。これは

$$\Lambda(V) = |0\rangle\langle 0| \otimes I + |1\rangle\langle 1| \otimes V, \quad |0\rangle\langle 0| = \begin{pmatrix} 1 & 0 \\ 0 & 0 \end{pmatrix}, \quad |1\rangle\langle 1| = \begin{pmatrix} 0 & 0 \\ 0 & 1 \end{pmatrix}, \quad V = \begin{pmatrix} a & b \\ c & d \end{pmatrix} \quad (81)$$

と書くことができる。このように、 $|0\rangle, |1\rangle$  への射影演算子を用いて書かれるゲートを制御  $V$  ゲートと呼ぶ。射影演算子が作用する bit を制御 bit, ユニタリー演算子が作用する bit を target bit と呼ぶ。

次に、 $|00\rangle$  と  $|11\rangle$  だけに作用するもの

$$\begin{pmatrix} a & 0 & 0 & b \\ 0 & 1 & 0 & 0 \\ 0 & 0 & 1 & b \\ c & 0 & 0 & d \end{pmatrix} \quad (82)$$

を考える。この場合も

1.  $|00\rangle$  と  $|10\rangle$  を swap する。
2.  $V$  を作用させる。
3.  $|00\rangle$  と  $|10\rangle$  を swap する。

によって、 $\Lambda(V)$  を作用させる計算に帰着できる。 $|00\rangle$  と  $|10\rangle$  を swap は、「2 番目の bit が 0 ならば 1 番目の bit を反転させよ」と読めば、制御演算で表せることが分かる。具体的には

$$\text{SWAP} = X \otimes |0\rangle\langle 0| + I \otimes |1\rangle\langle 1| \quad (83)$$

である。この作用を具体的に計算すると、

$$\text{SWAP} |00\rangle = |10\rangle \quad (84)$$

$$\text{SWAP} |01\rangle = |01\rangle \quad (85)$$

$$\text{SWAP} |10\rangle = |00\rangle \quad (86)$$

$$\text{SWAP} |11\rangle = |11\rangle \quad (87)$$

となる。行列表示すると

$$\text{SWAP} = \begin{pmatrix} 0 & 0 & 1 & 0 \\ 0 & 1 & 0 & 0 \\ 1 & 0 & 0 & 0 \\ 0 & 0 & 0 & 1 \end{pmatrix} \quad (88)$$

である。具体的に計算してみると

$$\text{SWAP} \Lambda(V) \text{SWAP} = \begin{pmatrix} 0 & 0 & 1 & 0 \\ 0 & 1 & 0 & 0 \\ 1 & 0 & 0 & 0 \\ 0 & 0 & 0 & 1 \end{pmatrix} \begin{pmatrix} 1 & 0 & 0 & 0 \\ 0 & 1 & 0 & 0 \\ 0 & 0 & a & b \\ 0 & 0 & c & d \end{pmatrix} \begin{pmatrix} 0 & 0 & 1 & 0 \\ 0 & 1 & 0 & 0 \\ 1 & 0 & 0 & 0 \\ 0 & 0 & 0 & 1 \end{pmatrix} \quad (89)$$

$$= \begin{pmatrix} 0 & 0 & 1 & 0 \\ 0 & 1 & 0 & 0 \\ 1 & 0 & 0 & 0 \\ 0 & 0 & 0 & 1 \end{pmatrix} \begin{pmatrix} 0 & 0 & 1 & 0 \\ 0 & 1 & 0 & 0 \\ a & 0 & 0 & b \\ c & 0 & 0 & d \end{pmatrix} \quad (90)$$

$$= \begin{pmatrix} a & 0 & 0 & b \\ 0 & 1 & 0 & 0 \\ 0 & 0 & 1 & b \\ c & 0 & 0 & d \end{pmatrix} \quad (91)$$

となって確かに所望のユニタリー変換が得られている。

このようにして、bit swap と制御ユニタリー変換を組み合わせれば、任意の 2 level ユニタリー変換を構成することができる。

制御演算のうち、

$$\Lambda(X) = |0\rangle\langle 0| \otimes I + |1\rangle\langle 1| \otimes X, \quad (92)$$

を制御 NOT ゲート、あるいは CNOT ゲートと呼ぶ。実は、任意の制御ユニタリーゲートは、CNOT, H, T を用いて表すことができる。

#### 4.4 3 bit 以上のユニタリー変換

3 bit 系で swap をやろうとすると、制御 bit が 2 つの NOT が必要になる。これを Toffoli ゲートと呼ぶ。Toffoli ゲートは CNOT と T ゲートに分解できる。また、Toffoli ゲートを組み合わせれば、制御 bit が 3 つ以上の NOT も作れる。こうして、CNOT, H, T の 3 つのゲートによって任意のユニタリー変換をいくらでも精度良く近似できることが分かった。この 3 つのゲートが、量子計算機における万能の組である。

## 5 基本的な量子アルゴリズム

## 5.1 量子計算機で実行できる操作のまとめ

量子計算には重要な制約がある。

1. アルゴリズムはユニタリー演算として表されなければならない
2. 出力を得るために測定と呼ばれる操作を行わなければならない

各 qubit に対してユニタリー演算子を作用させることができる。例えば

$$U|\psi\rangle = |\psi'\rangle \quad (93)$$

といった操作が可能である。これを、

$$|\psi\rangle \text{ --- } \boxed{U} \text{ --- } |\psi'\rangle$$

と表す。複数の qubit がある場合は、どの qubit に作用するのかを明示するために

$$U_j = I \otimes \cdots \otimes U \otimes \cdots \otimes I \quad (94)$$

という記法を用いる。例えば、

$$U_0 |\psi_0\rangle |\psi_1\rangle = (U |\psi_0\rangle) |\psi_1\rangle = |\psi'_0\rangle |\psi_1\rangle \quad (95)$$

である。これは以下のように表す。

$$\begin{array}{c} |\psi_0\rangle \text{ --- } \boxed{U} \text{ --- } |\psi'_0\rangle \\ |\psi_1\rangle \text{ ----- } |\psi_1\rangle \end{array}$$

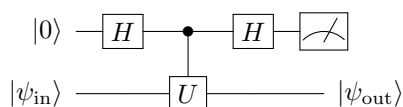
上記に加えて、制御ユニタリー演算というものを作用させることができる。 $j$  番の qubit を制御系とする  $k$  番の qubit に対する制御ユニタリー演算とは、

$$\Lambda_{jk}(U) = \cdots \otimes \underbrace{|0\rangle\langle 0|I}_i \otimes \cdots \otimes \underbrace{|1\rangle\langle 1|I}_k \otimes \cdots \quad (96)$$

である。…で省略したところにはすべて  $I$  が入る。特に、 $U = X$  の場合を CNOT ゲートと呼ぶ。

## 5.2 アダマールテスト

$U$  をユニタリー演算子とする。以下のゲート



を考える。control U gate を式で表すと、

$$|0\rangle\langle 0| \otimes I + |1\rangle\langle 1| \otimes U \quad (97)$$

であることに注意して、この回路を式で書くと、測定の前直前の状態は

$$(H \otimes I)(|0\rangle\langle 0| \otimes I + |1\rangle\langle 1| \otimes U)(H \otimes I)|0\rangle|\psi_{\text{in}}\rangle \quad (98)$$

$$=(H \otimes I)(|0\rangle\langle 0| \otimes I + |1\rangle\langle 1| \otimes U)\frac{|0\rangle|\psi_{\text{in}}\rangle + |1\rangle|\psi_{\text{in}}\rangle}{\sqrt{2}} \quad (99)$$

$$=(H \otimes I)\left(\frac{|0\rangle|\psi_{\text{in}}\rangle}{\sqrt{2}} + \frac{|1\rangle U|\psi_{\text{in}}\rangle}{\sqrt{2}}\right) \quad (100)$$

$$=\frac{1}{\sqrt{2}}(H \otimes I)(|0\rangle|\psi_{\text{in}}\rangle + |1\rangle U|\psi_{\text{in}}\rangle) \quad (101)$$

$$=\frac{1}{\sqrt{2}}\left(\frac{|0\rangle + |1\rangle}{\sqrt{2}}|\psi_{\text{in}}\rangle + \frac{|0\rangle - |1\rangle}{\sqrt{2}}U|\psi_{\text{in}}\rangle\right) \quad (102)$$

$$=\frac{|0\rangle + |1\rangle}{2}|\psi_{\text{in}}\rangle + \frac{|0\rangle - |1\rangle}{2}U|\psi_{\text{in}}\rangle \quad (103)$$

$$=|0\rangle\frac{I+U}{2}|\psi_{\text{in}}\rangle + |1\rangle\frac{I-U}{2}|\psi_{\text{in}}\rangle \quad (104)$$

となる。第一の qubit が  $|0\rangle$  である確率は

$$p_0 = \left| \left( |0\rangle\langle 0| \otimes I \right) \left( |0\rangle\frac{I+U}{2}|\psi_{\text{in}}\rangle + |1\rangle\frac{I-U}{2}|\psi_{\text{in}}\rangle \right) \right|^2 \quad (105)$$

$$= \left| |0\rangle\frac{I+U}{2}|\psi_{\text{in}}\rangle \right|^2 \quad (106)$$

$$= \left( \langle\psi_{\text{in}}| \frac{I+U^\dagger}{2} \langle 0| \right) \left( |0\rangle\frac{I+U}{2}|\psi_{\text{in}}\rangle \right) \quad (107)$$

$$= \langle\psi_{\text{in}}| \frac{I+U+U^\dagger+U^\dagger U}{4} |\psi_{\text{in}}\rangle \quad (108)$$

$$= \langle\psi_{\text{in}}| \frac{2I+U+U^\dagger}{4} |\psi_{\text{in}}\rangle \quad (109)$$

$$= \frac{1 + \text{Re} \langle\psi_{\text{in}}| U |\psi_{\text{in}}\rangle}{2} \quad (110)$$

となり、第一の qubit が  $|1\rangle$  である確率は

$$p_1 = \left| \left( |1\rangle\langle 1| \otimes I \right) \left( |0\rangle\frac{I+U}{2}|\psi_{\text{in}}\rangle + |1\rangle\frac{I-U}{2}|\psi_{\text{in}}\rangle \right) \right|^2 \quad (111)$$

$$= \left| |1\rangle\frac{I-U}{2}|\psi_{\text{in}}\rangle \right|^2 \quad (112)$$

$$= \left( \langle\psi_{\text{in}}| \frac{I-U^\dagger}{2} \langle 1| \right) \left( |1\rangle\frac{I-U}{2}|\psi_{\text{in}}\rangle \right) \quad (113)$$

$$= \langle\psi_{\text{in}}| \frac{I-U-U^\dagger+U^\dagger U}{4} |\psi_{\text{in}}\rangle \quad (114)$$

$$= \langle\psi_{\text{in}}| \frac{2I-U-U^\dagger}{4} |\psi_{\text{in}}\rangle \quad (115)$$

$$= \frac{1 - \text{Re} \langle\psi_{\text{in}}| U |\psi_{\text{in}}\rangle}{2} \quad (116)$$

となる。従って、この回路では演算子  $U$  の  $\langle\psi_{\text{in}}|$  における期待値を推定することができる。

測定の結果、第一番目の qubit が  $|0\rangle, |1\rangle$  だった場合、残りの状態はそれぞれ、

$$|\psi_{\text{out}}\rangle = |\psi_0\rangle = \frac{I+U}{2}|\psi_{\text{in}}\rangle, \quad |\psi_{\text{out}}\rangle = |\psi_1\rangle = \frac{I-U}{2}|\psi_{\text{in}}\rangle \quad (117)$$

となる。

### 5.3 量子フーリエ変換

$x_j$  を  $2^n$  成分ベクトルとする。これは規格化  $\sum_{j=0}^{2^n-1} |x_j|^2 = 1$  されているとする。この離散フーリエ変換

$$y_k = \frac{1}{\sqrt{2^n}} \sum_{j=0}^{2^n-1} x_j e^{i \frac{2\pi jk}{2^n}} \quad (118)$$

を量子回路を用いて計算する方法について述べる。

整数  $j$  に対してその 2 進数表記をラベルに持つような量子状態を考え、次のように書く。

$$|(j)_2\rangle = |i_1 i_2 \dots\rangle \quad (119)$$

例えば

$$|(6)_2\rangle = |110\rangle = |1\rangle \otimes |1\rangle \otimes |0\rangle = \begin{pmatrix} 0 \\ 0 \\ 0 \\ 0 \\ 0 \\ 0 \\ 1 \\ 0 \end{pmatrix} \quad (120)$$

である。この約束のもと、次のような状態を考える

$$|x\rangle \equiv \sum_{j=0}^{2^n-1} x_j |(j)_2\rangle, \quad |y\rangle \equiv \sum_{j=0}^{2^n-1} y_j |(j)_2\rangle \quad (121)$$

$|y\rangle$  を  $x_j$  で表すと

$$|y\rangle = \sum_{k=0}^{2^n-1} y_k |(k)_2\rangle \quad (122)$$

$$= \frac{1}{\sqrt{2^n}} \sum_{j=0}^{2^n-1} \sum_{k=0}^{2^n-1} x_j e^{i \frac{2\pi jk}{2^n}} |(k)_2\rangle \quad (123)$$

$$= \sum_{j=0}^{2^n-1} x_j \left( \frac{1}{\sqrt{2^n}} \sum_{k=0}^{2^n-1} e^{i \frac{2\pi jk}{2^n}} |(k)_2\rangle \right) \quad (124)$$

となる。もし、あるユニタリー変換で、

$$U |(j)_2\rangle = \frac{1}{\sqrt{2^n}} \sum_{k=0}^{2^n-1} e^{i \frac{2\pi jk}{2^n}} |(k)_2\rangle \quad (125)$$

となるようなものがあつたとすると、

$$U |x\rangle = |y\rangle \quad (126)$$

となる。 $|y\rangle$  の係数を読み取ることで、フーリエ変換の結果を知ることができる。

以下で、そのような  $U$  を具体的に構成する。ビット数は  $n$  で固定する。

$$\sum_{k=0}^{2^n-1} e^{i\frac{2\pi jk}{2^n}} |(k)_2\rangle = \sum_{k_1=0,1} \cdots \sum_{k_n=0,1} e^{i\frac{2\pi j(k_1 2^{n-1} + \cdots + k_n 2^0)}{2^n}} |k_1 \cdots k_n\rangle \quad (127)$$

$$= \sum_{k_1=0,1} \cdots \sum_{k_n=0,1} e^{i2\pi j(k_1 2^{-1} + \cdots + k_n 2^{-n})} |k_1 \cdots k_n\rangle \quad (128)$$

$$= \left( \sum_{k_1=0,1} e^{i2\pi j k_1 2^{-1}} |k_1\rangle \right) \otimes \cdots \otimes \left( \sum_{k_n=0,1} e^{i2\pi j k_n 2^{-n}} |k_n\rangle \right) \quad (129)$$

$$= (|0\rangle + e^{i2\pi j 2^{-1}} |1\rangle) \otimes \cdots \otimes (|0\rangle + e^{i2\pi j 2^{-n}} |1\rangle) \quad (130)$$

ここで、 $j2^{-l}$  という因子の 2 進数表記について考える。

$$(j)_2 = j_1 j_2 \cdots j_n \quad (131)$$

とすると、

$$j = j_1 2^{n-1} + j_2 2^{n-2} + \cdots + j_n 2^0 \quad (132)$$

であるから

$$j2^{-l} = j_1 2^{n-l-1} + j_2 2^{n-l-2} + \cdots + j_n 2^{-l} \quad (133)$$

である。よって、これを 2 進数表記すると

$$(j2^{-1})_2 = (\text{整数部分}) \cdot j_n \quad (134)$$

$$(j2^{-2})_2 = (\text{整数部分}) \cdot j_{n-1} j_n \quad (135)$$

$$\vdots \quad (136)$$

$$(j2^{-l})_2 = (\text{整数部分}) \cdot j_{n-l+1} \cdots j_{n-1} j_n \quad (137)$$

$$\vdots \quad (138)$$

$$(j2^{-n})_2 = (\text{整数部分}) \cdot j_1 \cdots j_{n-1} j_n \quad (139)$$

$$(140)$$

となる。また、一般に

$$e^{i2\pi j_1 \cdots j_{l-1} \cdot j_l \cdots j_n} = e^{i2\pi \left( \cdots + j_{l-2} 2^1 + j_{l-1} + \frac{j_l}{2^1} \cdots + \frac{j_n}{2^{n-l+1}} \right)} \quad (141)$$

$$= \cdots e^{i2\pi j_{l-2} 2^1} e^{i2\pi j_{l-1}} e^{i2\pi \frac{j_l}{2^1}} \cdots e^{i2\pi \frac{j_n}{2^{n-l+1}}} \quad (142)$$

$$= e^{i2\pi \frac{j_l}{2^1}} \cdots e^{i2\pi \frac{j_n}{2^{n-l+1}}} \quad (143)$$

$$= e^{i2\pi \left( \frac{j_l}{2^1} \cdots + \frac{j_n}{2^{n-l+1}} \right)} \quad (144)$$

$$= e^{i2\pi 0 \cdot j_l \cdots j_n} \quad (145)$$

のように整数部分は効いてこないことに注意すると、

$$\sum_{k=0}^{2^n-1} e^{i\frac{2\pi jk}{2^n}} |(k)_2\rangle = (|0\rangle + e^{i2\pi j 2^{-1}} |1\rangle) \otimes \cdots \otimes (|0\rangle + e^{i2\pi j 2^{-n}} |1\rangle) \quad (146)$$

$$= (|0\rangle + e^{i2\pi 0 \cdot j_n} |1\rangle) \otimes \cdots \otimes (|0\rangle + e^{i2\pi 0 \cdot j_1 \cdots j_n} |1\rangle) \quad (147)$$

を得る。よって、求めるべきユニタリー変換  $U$  とは

$$U |(j)_2\rangle = \frac{1}{\sqrt{2^n}} (|0\rangle + e^{i2\pi 0.j_n} |1\rangle) \otimes \cdots \otimes (|0\rangle + e^{i2\pi 0.j_1 \cdots j_n} |1\rangle) \quad (148)$$

となるようなものである。

まず、Hadamard ゲートが状態に対して

$$H |j\rangle = \frac{|0\rangle + (-1)^j |1\rangle}{\sqrt{2}} \quad (149)$$

と作用することを思い出す。ここで、2 進小数を導入すると

$$e^{i2\pi 0.0} = 1, \quad e^{i2\pi 0.1} = e^{\frac{i2\pi}{2}} = -1 \quad (150)$$

であるから、

$$H |j\rangle = \frac{|0\rangle + e^{i2\pi 0.j} |1\rangle}{\sqrt{2}} \quad (151)$$

と表すことができる。このことを用い、まず第一番目の bit に Hadamard ゲートを作用させると

$$(H \otimes I \otimes \cdots) |j_1 j_2 \cdots j_n\rangle = \left( \frac{|0\rangle + e^{i2\pi 0.j_1} |1\rangle}{\sqrt{2}} \right) |j_2 \cdots j_n\rangle \quad (152)$$

となる。次に、2 番目の bit を制御ゲートとする位相ゲート  $R_2$  を一番目のゲートに作用させる。3 番目以降の bit は関与しないから、1,2 番目の bit だけに注目して計算してみる。

$$(I \otimes |0\rangle\langle 0| + R_2 \otimes |1\rangle\langle 1|) \left( \frac{|0\rangle + e^{i2\pi 0.j_1} |1\rangle}{\sqrt{2}} \right) |0\rangle = \frac{|00\rangle + e^{i2\pi 0.j_1} |10\rangle}{\sqrt{2}} = \frac{|00\rangle + e^{i2\pi 0.j_1 0} |10\rangle}{\sqrt{2}} \quad (153)$$

$$(I \otimes |0\rangle\langle 0| + R_2 \otimes |1\rangle\langle 1|) \left( \frac{|0\rangle + e^{i2\pi 0.j_1} |1\rangle}{\sqrt{2}} \right) |1\rangle = \left( \frac{|0\rangle + e^{i\frac{2\pi}{2}} e^{i2\pi 0.j_1} |1\rangle}{\sqrt{2}} \right) |1\rangle = \frac{|01\rangle + e^{i2\pi 0.j_1 1} |11\rangle}{\sqrt{2}} \quad (154)$$

この結果をまとめると、

$$(I \otimes |0\rangle\langle 0| + R_2 \otimes |1\rangle\langle 1|) \left( \frac{|0\rangle + e^{i2\pi 0.j_1} |1\rangle}{\sqrt{2}} \right) |j_2\rangle = \frac{|0\rangle + e^{i2\pi 0.j_1 j_2} |1\rangle}{\sqrt{2}} |j_2\rangle \quad (155)$$

となる。まったく同様の計算により、

$$C_{n,1}(R_n) \cdots C_{3,1}(R_3) C_{2,1}(R_2) H_1 |j_1 j_2 j_3 \cdots j_n\rangle = \frac{|0\rangle + e^{i2\pi 0.j_1 j_2 j_3 \cdots j_n} |1\rangle}{\sqrt{2}} |j_2 j_3 \cdots j_n\rangle \quad (156)$$

となる。以下、残った  $|j_2 j_3 \cdots j_n\rangle$  の部分に同様な操作を施す。

$$C_{n-1,2}(R_n) \cdots C_{3,2}(R_4) C_{2,2}(R_3) H_2 |\bullet j_2 j_3 \cdots j_n\rangle = \frac{|0\rangle + e^{i2\pi 0.j_2 j_3 \cdots j_n} |1\rangle}{\sqrt{2}} |j_3 \cdots j_n\rangle \quad (157)$$

$$C_{n-1,3}(R_n) \cdots C_{3,3}(R_5) C_{2,3}(R_4) H_3 |\bullet \bullet j_3 \cdots j_n\rangle = \frac{|0\rangle + e^{i2\pi 0.j_3 \cdots j_n} |1\rangle}{\sqrt{2}} |j_4 \cdots j_n\rangle \quad (158)$$

$$\vdots \quad (159)$$

これらをすべて合わせると、

$$|j_1 j_2 \cdots j_n\rangle \rightarrow \frac{1}{\sqrt{2^n}} (|0\rangle + e^{i2\pi 0.j_1 \cdots j_n} |1\rangle) \otimes \cdots \otimes (|0\rangle + e^{i2\pi 0.j_n} |1\rangle) \quad (160)$$

を得る。最後に SWAP ゲートで状態の入れ替えを行えば完了である。

## 5.4 位相推定アルゴリズム

ユニタリー演算子  $U$  が固有値  $e^{i\lambda_l}$  をもち、対応する固有状態が  $|\psi_l\rangle$  であるとする。固有値の位相は  $0 \leq \lambda_l \leq 2\pi$  として一般性を失わないから、 $\lambda_l/2\pi$  は次のように 2 進展開できる:

$$\frac{\lambda_l}{2\pi} = \frac{j_1^{(l)}}{2^1} + \dots + \frac{j_n^{(l)}}{2^n} \quad (161)$$

ただし、展開が無限次になる場合は、 $n$  桁で打ち切って近似しているものとする。これを次のように表す。

$$\lambda_l = (2\pi) 0.j_1^{(l)} \dots j_n^{(l)} \quad (162)$$

一般の量子状態  $|\psi\rangle$  を  $U$  の固有状態で展開したときの係数を  $c_l$  と表すことができる。

$$|\psi\rangle = \sum_l c_l |\psi_l\rangle \quad (163)$$

このとき、 $|\psi\rangle$  と  $n$  桁の補助量子ビット  $|00\dots 0\rangle$  を

$$V |00\dots 0\rangle |\psi\rangle = \sum_l c_l |j_1^{(l)} \dots j_n^{(l)}\rangle |\psi_l\rangle \quad (164)$$

のように変換するアルゴリズムを量子位相推定と呼ぶ。例えば、補助ビットが  $|0\dots 0\rangle$  となる確率は

$$\left| |0\dots 0\rangle \langle 0\dots 0| \otimes I \sum_l c_l |j_1^{(l)} \dots j_n^{(l)}\rangle |\psi_l\rangle \right|^2 \quad (165)$$

$$= \left| \sum_l c_l |0\dots 0\rangle \langle 0\dots 0| |j_1^{(l)} \dots j_n^{(l)}\rangle |\psi_l\rangle \right|^2 \quad (166)$$

$$= \sum_{l,l'} c_l c_{l'}^* \langle \psi_{l'} | \langle j_1^{(l')} \dots j_n^{(l')} | |0\dots 0\rangle \langle 0\dots 0| |0\dots 0\rangle \langle 0\dots 0| |j_1^{(l)} \dots j_n^{(l)}\rangle |\psi_l\rangle \quad (167)$$

$$= \sum_{l,l'} c_l c_{l'}^* \delta_{ll'} \langle j_1^{(l')} \dots j_n^{(l')} | |0\dots 0\rangle \langle 0\dots 0| |j_1^{(l)} \dots j_n^{(l)}\rangle \quad (168)$$

$$= \sum_l |c_l|^2 \langle j_1^{(l)} \dots j_n^{(l)} | |0\dots 0\rangle \langle 0\dots 0| |j_1^{(l)} \dots j_n^{(l)}\rangle \quad (169)$$

$$= \sum_l |c_l|^2 \left| \langle 0\dots 0 | |j_1^{(l)} \dots j_n^{(l)}\rangle \right|^2 \quad (170)$$

まず準備として、ひとつの補助ビットと  $U$  の固有状態のテンソル積状態を考え、それに Hadamard ゲートと制御  $U^{2^k}$  ゲートを作用させる。

$$C_1(U_2^{2^k}) H_1 |0\rangle |\psi_l\rangle = C_1(U_2^{2^k}) \frac{|0\rangle + |1\rangle}{\sqrt{2}} |\psi_l\rangle \quad (171)$$

$$= \frac{|0\rangle}{\sqrt{2}} |\psi_l\rangle + \frac{|1\rangle}{\sqrt{2}} U^{2^k} |\psi_l\rangle \quad (172)$$

$$= \frac{|0\rangle + e^{2^k i \lambda_l} |1\rangle}{\sqrt{2}} |\psi_l\rangle \quad (173)$$



ここで、

$$2^0 \lambda_l = (2\pi) 2^0 j_1^{(l)} \cdots j_n^{(l)} = (2\pi) 0 \cdot j_2^{(l)} \cdots j_n^{(l)} \quad (174)$$

$$2^1 \lambda_l = (2\pi) 2^1 j_1^{(l)} \cdots j_n^{(l)} = (2\pi) j_1^{(l)} \cdot j_2^{(l)} \cdots j_n^{(l)} \quad (175)$$

$$2^2 \lambda_l = (2\pi) 2^2 j_1^{(l)} \cdots j_n^{(l)} = (2\pi) j_1^{(l)} \cdot j_2^{(l)} \cdot j_3^{(l)} \cdots j_n^{(l)} \quad (176)$$

$$\vdots \quad (177)$$

$$2^k \lambda_l = (2\pi) 2^k j_1^{(l)} \cdots j_n^{(l)} = (2\pi) j_1^{(l)} \cdots j_k^{(l)} \cdot j_{k+1}^{(l)} \cdots j_n^{(l)} \quad (178)$$

であるから、

$$C_1(U_2^{2^k}) H_1 |0\rangle |\psi_l\rangle = \frac{|0\rangle + e^{2^k i \lambda_l} |1\rangle}{\sqrt{2}} |\psi_l\rangle \quad (179)$$

$$= \frac{|0\rangle + e^{(2\pi i) j_1^{(l)} \cdots j_k^{(l)} \cdot j_{k+1}^{(l)} \cdots j_n^{(l)}} |1\rangle}{\sqrt{2}} |\psi_l\rangle \quad (180)$$

$$= \frac{|0\rangle + e^{(2\pi i) 0 \cdot j_{k+1}^{(l)} \cdots j_n^{(l)}} |1\rangle}{\sqrt{2}} |\psi_l\rangle \quad (181)$$

を得る。この結果を用いると、

$$\prod_{k=1}^n C_k(U_2^{2^{k-1}}) H_k |00 \cdots 0\rangle |\psi_l\rangle \quad (182)$$

$$= \frac{1}{\sqrt{2^n}} \left( |0\rangle + e^{(2\pi i) 0 \cdot j_1^{(l)} \cdots j_n^{(l)}} |1\rangle \right) \left( |0\rangle + e^{(2\pi i) 0 \cdot j_2^{(l)} \cdots j_n^{(l)}} |1\rangle \right) \cdots \left( |0\rangle + e^{(2\pi i) 0 \cdot j_n^{(l)}} |1\rangle \right) |\psi_l\rangle \quad (183)$$

となるが、これは  $|j_1 j_2 \cdots j_n\rangle$  に量子フーリエ変換を施してできる状態に他ならない。従って、

$$\text{QFT}^\dagger \prod_{k=1}^n C_k(U_2^{2^{k-1}}) H_k |00 \cdots 0\rangle |\psi_l\rangle = |j_1^{(l)} j_2^{(l)} \cdots j_n^{(l)}\rangle |\psi_l\rangle \quad (184)$$

である。よって、 $V = \text{QFT}^\dagger \prod_{k=1}^n C_k(U_2^{2^{k-1}}) H_k$  とすれば良いことが分かった。

## 5.5 Shor の素因数分解アルゴリズム

正の  $N$  を整数とし、これを素因数分解したいものとする。 $N$  と互いに素な数  $x$  を用意し、

$$x^r = 1 \pmod{N} \quad (185)$$

とおく。これを満たす最小の  $r$  を  $x$  の位数と呼ぶ。大概の場合、位数は偶数になることが知られているらしいので、以下それを仮定する。このとき、 $x^r - 1$  を因数分解することができて

$$(x^{r/2} - 1)(x^{r/2} + 1) = 0 \pmod{N} \quad (186)$$

である。これが成り立つのは

- $x^{r/2} \pm 1 = 0 \pmod{N}$  である。
- $(x^{r/2} - 1), (x^{r/2} + 1)$  が  $N$  と非自明な公約数を持つ。

のどちらかの場合であるが、実は後者になる場合が多いらしいので、以下それを仮定する。するとユークリッドの互除法により、 $(x^{r/2} - 1), (x^{r/2} + 1)$  が  $N$  と非自明な公約数を計算することができ、 $N$  の因数がひとつ判明する。これを繰り返すことで素因数分解が完了する。

例) うまくいく場合。

1.  $N = 57$  とする。
2.  $x = 5$  を取る。
3.  $r = 18$  となる。
4.  $x^{r/2} - 1 = 5^9 - 1 = 1953124$ ,  $x^{r/2} + 1 = 5^9 + 1 = 1953126$  である。これらは  $57$  では割り切れない。
5.  $\gcd(5^9 - 1, 57) = 19$ ,  $\gcd(5^9 + 1, 57) = 3$  である。

失敗する場合。

1.  $N = 57$  とする。
2.  $x = 2$  を取る。
3.  $r = 18$  となる。
4.  $2^9 - 1 = 511$ ,  $2^9 + 1 = 513$  である。 $513/57 = 9$  である。
5.  $\gcd(2^9 - 1, 57) = 1$ ,  $\gcd(2^9 + 1, 57) = 57$  である。

さて、この計算で最もしんどいのは  $r$  を求める部分であるが、これを量子計算機にやらせることができる。まず、与えられた  $N, x$  に対して、ユニタリー演算子

$$U_x = \sum_{y=0}^{N-1} |xy \bmod N\rangle \langle y| \quad (187)$$

を考える。この固有値と固有ベクトルは

$$U_x |u_s\rangle = e^{2\pi i(s/r)} |u_s\rangle, \quad s = 0, \dots, r-1 \quad (188)$$

$$|u_s\rangle = \frac{1}{\sqrt{r}} \sum_{k=0}^{r-1} e^{-2\pi i(s/r)k} |x^k \bmod N\rangle \quad (189)$$

である。実際、

$$U_x |u_s\rangle = \frac{1}{\sqrt{r}} \sum_{y=0}^{N-1} \sum_{k=0}^{r-1} e^{-2\pi i(s/r)k} |xy \bmod N\rangle \langle y|x^k \bmod N\rangle \quad (190)$$

$$= \frac{1}{\sqrt{r}} \sum_{k=0}^{r-1} e^{-2\pi i(s/r)k} |x^{k+1} \bmod N\rangle \quad (191)$$

$$= \frac{1}{\sqrt{r}} \sum_{k=0}^{r-2} e^{-2\pi i(s/r)k} |x^{k+1} \bmod N\rangle + \frac{1}{\sqrt{r}} e^{-2\pi i(s/r)(r-1)} |x^r \bmod N\rangle \quad (192)$$

$$= \frac{1}{\sqrt{r}} \sum_{k=0}^{r-2} e^{-2\pi i(s/r)k} |x^{k+1} \bmod N\rangle + \frac{1}{\sqrt{r}} e^{-2\pi i(s/r)(r-1)} |1 \bmod N\rangle \quad (193)$$

$$= \frac{1}{\sqrt{r}} \sum_{k=1}^{r-1} e^{-2\pi i(s/r)(k-1)} |x^k \bmod N\rangle + \frac{1}{\sqrt{r}} e^{-2\pi i(s/r)(r-1)} |x^0 \bmod N\rangle \quad (194)$$

$$= e^{2\pi i(s/r)} \frac{1}{\sqrt{r}} \left( \sum_{k=1}^{r-1} e^{-2\pi i(s/r)k} |x^k \bmod N\rangle + e^{-2\pi i(s/r)r} |x^0 \bmod N\rangle \right) \quad (195)$$

$$= e^{2\pi i(s/r)} \frac{1}{\sqrt{r}} \left( \sum_{k=1}^{r-1} e^{-2\pi i(s/r)k} |x^k \bmod N\rangle + |x^0 \bmod N\rangle \right) \quad (196)$$

$$= e^{2\pi i(s/r)} \frac{1}{\sqrt{r}} \sum_{k=0}^{r-1} e^{-2\pi i(s/r)k} |x^k \bmod N\rangle \quad (197)$$

$$= e^{2\pi i(s/r)} |u_s\rangle \quad (198)$$

となっている。従って、 $U_x$  を量子位相推定することにより、 $s/r$  を得ることが<sup>3</sup>できる。

例えば  $N = 6, x = 5$  の場合、 $r = 2$  である。 $U$  の行列表示は

$$U_5 = \sum_{y=0}^5 |5y \bmod 6\rangle \langle y| \quad (199)$$

$$= |0 \bmod 6\rangle \langle 0| + |5 \bmod 6\rangle \langle 1| + |10 \bmod 6\rangle \langle 2| + |15 \bmod 6\rangle \langle 3| + |20 \bmod 6\rangle \langle 4| + |25 \bmod 6\rangle \langle 5| \quad (200)$$

$$= |0\rangle \langle 0| + |5\rangle \langle 1| + |4\rangle \langle 2| + |3\rangle \langle 3| + |2\rangle \langle 4| + |1\rangle \langle 5| \quad (201)$$

$$= \begin{pmatrix} 1 & 0 & 0 & 0 & 0 & 0 \\ 0 & 0 & 0 & 0 & 0 & 1 \\ 0 & 0 & 0 & 0 & 1 & 0 \\ 0 & 0 & 0 & 1 & 0 & 0 \\ 0 & 0 & 1 & 0 & 0 & 0 \\ 0 & 1 & 0 & 0 & 0 & 0 \end{pmatrix} \quad (202)$$

である。**固有値**は  $e^{2\pi i \times 0} = 1$ ,  $e^{2\pi i(1/2)} = -1$  である。(縮退がある) 状態を測定して後者が得られれば、 $r = 2$  が得られる。

## 6 誤り訂正

### 6.1 線形符号による古典誤り訂正

最も素朴な誤り訂正の方法は多数決である。例えば、0 というデータがあったとき、これを 000 という風に冗長化したデータを作っておけば、何らかの要因によってビットが部分的に反転してしまい 010 になったとしても、反転前のデータは 000 であろうと推定できる。

$k$  ビットの情報  $v$  (成分が 0 or 1 の  $k$  成分ベクトル) があったとし、これを  $n = dk$  ビットのベクトルに冗長化することを考える。冗長化後のベクトルを  $v'$ ,  $v$  から  $v'$  への変換を  $G$  とする。

$$v' = Gv \quad (203)$$

$G$  は  $n \times k$  行列である。この操作を符号化、 $G$  を生成行列と呼ぶ。 $G$  として冒頭の多数決方式を採用したものを線形符号と呼ぶ。例えば、

$$v = \begin{pmatrix} 0 \\ 1 \\ 0 \end{pmatrix}, \quad G = \begin{pmatrix} 1 & 0 & 0 \\ 1 & 0 & 0 \\ 1 & 0 & 0 \\ 0 & 1 & 0 \\ 0 & 1 & 0 \\ 0 & 1 & 0 \\ 0 & 0 & 1 \\ 0 & 0 & 1 \\ 0 & 0 & 1 \end{pmatrix}, \quad (204)$$

と取れば、

$$v' = \begin{pmatrix} 0 \\ 0 \\ 0 \\ 1 \\ 1 \\ 1 \\ 1 \\ 0 \\ 0 \\ 0 \end{pmatrix} \quad (205)$$

となる。

次に、エラーが起きたかどうかを判定する方法を考える。 $n$  ビットのベクトルのうち、 $Gv$  の形に表されるものの全体の集合を  $W$  とする。 $W$  の元を符号語と呼ぶ。例えば ( $k = 2, d = 3$ )

$$v = \begin{pmatrix} 1 \\ 1 \\ 1 \\ 0 \\ 0 \\ 0 \end{pmatrix} \quad (206)$$

は符号語だが、

$$v = \begin{pmatrix} 1 \\ 0 \\ 1 \\ 0 \\ 0 \\ 0 \\ 0 \end{pmatrix} \quad (207)$$

ではない。

各列ベクトルが独立で、 $H_c G \equiv 0 \pmod{2}$  を満たすような  $(n-k) \times n$  行列  $H_c$  があったとする。これを検査行列と呼ぶ。任意の符号語  $w$  について

$$H_c w = H_c G v = 0 \quad (208)$$

が成り立つ。また逆に、 $H_c w = 0$  ならば、 $w$  は符号語であることも示せるらしい。このようにして、符号語の 2 通りの特徴付けを得た。

- $G$  を用いた見方: ベクトルが適切に水増しされている。
- $H_c$  を用いた見方: ブロック内の隣接するビットが等しい。

$w \in W$  のときに限りゼロになるようなベクトル  $s = H_c w$  を  $w$  のシンドローム、その成分をシンドローム値と呼ぶ。ひとつでも 0 でないシンドローム値があれば、 $w$  にはエラーが起きていることになる。シンドローム値がすべて 0 のときは、 $w$  にはエラーがないか、エラー自身が  $H_c e = 0$  を満たしているかのどちらかである。

(例  $k=3, n=9$ ) 線形符号  $G$  に対する検査行列は以下を取ればよい。

$$H_c = \begin{pmatrix} 1 & 1 & 0 & 0 & 0 & 0 & 0 & 0 & 0 \\ 0 & 1 & 1 & 0 & 0 & 0 & 0 & 0 & 0 \\ 0 & 0 & 0 & 1 & 1 & 0 & 0 & 0 & 0 \\ 0 & 0 & 0 & 0 & 1 & 1 & 0 & 0 & 0 \\ 0 & 0 & 0 & 0 & 0 & 0 & 1 & 1 & 0 \\ 0 & 0 & 0 & 0 & 0 & 0 & 0 & 1 & 1 \end{pmatrix} \quad (209)$$

実際

$$\begin{pmatrix} 1 & 1 & 0 & 0 & 0 & 0 & 0 & 0 & 0 \\ 0 & 1 & 1 & 0 & 0 & 0 & 0 & 0 & 0 \\ 0 & 0 & 0 & 1 & 1 & 0 & 0 & 0 & 0 \\ 0 & 0 & 0 & 0 & 1 & 1 & 0 & 0 & 0 \\ 0 & 0 & 0 & 0 & 0 & 0 & 1 & 1 & 0 \\ 0 & 0 & 0 & 0 & 0 & 0 & 0 & 1 & 1 \end{pmatrix} \begin{pmatrix} 1 & 0 & 0 \\ 1 & 0 & 0 \\ 1 & 0 & 0 \\ 0 & 1 & 0 \\ 0 & 1 & 0 \\ 0 & 1 & 0 \\ 0 & 0 & 1 \\ 0 & 0 & 1 \\ 0 & 0 & 1 \end{pmatrix} = \begin{pmatrix} 2 & 0 & 0 \\ 2 & 0 & 0 \\ 0 & 2 & 0 \\ 0 & 2 & 0 \\ 0 & 0 & 2 \\ 0 & 0 & 2 \end{pmatrix} \equiv \begin{pmatrix} 0 & 0 & 0 \\ 0 & 0 & 0 \\ 0 & 0 & 0 \\ 0 & 0 & 0 \\ 0 & 0 & 0 \\ 0 & 0 & 0 \end{pmatrix} \quad (210)$$

となり OK である。符号語  $w$  に対して  $H_c w$  を計算すると、

$$H_c w = \begin{pmatrix} 1 & 1 & 0 & 0 & 0 & 0 & 0 & 0 & 0 \\ 0 & 1 & 1 & 0 & 0 & 0 & 0 & 0 & 0 \\ 0 & 0 & 0 & 1 & 1 & 0 & 0 & 0 & 0 \\ 0 & 0 & 0 & 0 & 1 & 1 & 0 & 0 & 0 \\ 0 & 0 & 0 & 0 & 0 & 0 & 1 & 1 & 0 \\ 0 & 0 & 0 & 0 & 0 & 0 & 0 & 1 & 1 \end{pmatrix} \begin{pmatrix} 0 \\ 0 \\ 0 \\ 1 \\ 1 \\ 1 \\ 1 \\ 0 \\ 0 \end{pmatrix} = \begin{pmatrix} 0 \\ 0 \\ 2 \\ 2 \\ 0 \\ 0 \end{pmatrix} \equiv \begin{pmatrix} 0 \\ 0 \\ 0 \\ 0 \\ 0 \\ 0 \end{pmatrix} \quad (211)$$

となる。もしエラーが混入していると、

$$H_c w = \begin{pmatrix} 1 & 1 & 0 & 0 & 0 & 0 & 0 & 0 & 0 \\ 0 & 1 & 1 & 0 & 0 & 0 & 0 & 0 & 0 \\ 0 & 0 & 0 & 1 & 1 & 0 & 0 & 0 & 0 \\ 0 & 0 & 0 & 0 & 1 & 1 & 0 & 0 & 0 \\ 0 & 0 & 0 & 0 & 0 & 0 & 1 & 1 & 0 \\ 0 & 0 & 0 & 0 & 0 & 0 & 0 & 1 & 1 \end{pmatrix} \left( \begin{pmatrix} 0 \\ 0 \\ 0 \\ 1 \\ 1 \\ 1 \\ 0 \\ 0 \\ 0 \end{pmatrix} + \begin{pmatrix} 0 \\ 0 \\ 0 \\ 1 \\ 0 \\ 0 \\ 0 \\ 0 \\ 0 \end{pmatrix} \right) = \begin{pmatrix} 0 \\ 0 \\ 2 \\ 2 \\ 0 \\ 0 \end{pmatrix} + \begin{pmatrix} 0 \\ 0 \\ 1 \\ 0 \\ 0 \\ 0 \end{pmatrix} \equiv \begin{pmatrix} 0 \\ 0 \\ 1 \\ 0 \\ 0 \\ 0 \end{pmatrix} \quad (212)$$

となる。

## 6.2 量子誤り訂正

現在知られている量子誤り訂正は、線形符号を量子計算版とでもいうべきものである。具体例から考える。1 ビットの情報を 3 ビットに冗長化することを考える。ここでは、符号化前の量子状態もあらかじめ 3bit で用意しておき、情報は 1bit 目に格納しておくことにする。よって符号化  $G$  として

$$|000\rangle \rightarrow |000\rangle \quad (213)$$

$$|100\rangle \rightarrow |111\rangle \quad (214)$$

となるようなものを用意できれば良い。これは CNOT ゲート

$$\Lambda_{1,2}(X) = P_0 \otimes I \otimes I + P_1 \otimes X \otimes I \quad (215)$$

$$\Lambda_{1,3}(X) = P_0 \otimes I \otimes I + P_1 \otimes I \otimes X \quad (216)$$

で実現できる。実際、

$$\Lambda_{1,2}(X)\Lambda_{1,3}(X)|000\rangle = |000\rangle \quad (217)$$

$$\Lambda_{1,2}(X)\Lambda_{1,3}(X)|100\rangle = |111\rangle \quad (218)$$

となる。

次にシンドロームを調べる方法を考える。

$$M_0^{(1)} = \frac{I + Z_1 Z_2}{2}, \quad M_1^{(1)} = \frac{I - Z_1 Z_2}{2} \quad (219)$$

という 2 つの演算子を考えると、これらは POVM をなし、

$$M_0^{(1)} |000\rangle = \frac{1+1}{2} |000\rangle = |000\rangle \quad (220)$$

$$M_0^{(1)} |100\rangle = \frac{1-1}{2} |100\rangle = 0 \quad (221)$$

$$M_0^{(1)} |010\rangle = \frac{1-1}{2} |010\rangle = 0 \quad (222)$$

$$M_0^{(1)} |110\rangle = \frac{1+1}{2} |110\rangle = |110\rangle \quad (223)$$

$$M_1^{(1)} |000\rangle = \frac{1-1}{2} |000\rangle = 0 \quad (224)$$

$$M_1^{(1)} |100\rangle = \frac{1+1}{2} |100\rangle = |100\rangle \quad (225)$$

$$M_1^{(1)} |010\rangle = \frac{1+1}{2} |010\rangle = |010\rangle \quad (226)$$

$$M_1^{(1)} |110\rangle = \frac{1-1}{2} |110\rangle = 0 \quad (227)$$

より、

$$\text{tr}(|ij0\rangle \langle ij0| M_0^1) = \delta_{ij}, \quad (228)$$

$$\text{tr}(|ij0\rangle \langle ij0| M_1^1) = 1 - \delta_{ij} \quad (229)$$

となるから、 $M_1^1$  の期待値が、1,2 番のビットに関するシンδροーム値を与えることが分かる。全く同様に、

$$M_0^{(2)} = \frac{I + Z_2 Z_3}{2}, \quad M_1^{(2)} = \frac{I - Z_2 Z_3}{2} \quad (230)$$

も測定すれば、すべてのシンδροーム値が得られる。古典的な誤り訂正の場合、シンδροーム値は 0 か 1 であったが、量子計算の場合はそれ以外の中途半端な値を取りうる。例えば、 $|\psi\rangle = (|000\rangle + |010\rangle)/\sqrt{2}$  のとき、

$$M_0^{(1)} |\psi\rangle \frac{1}{\sqrt{2}} (|000\rangle + |010\rangle) = \frac{|000\rangle}{\sqrt{2}} \quad (231)$$

より、

$$\text{tr}(|\psi\rangle \langle \psi| M_0^{(1)}) = \frac{1}{2} \quad (232)$$

となる。

以下では簡単のため、このような位相を変化させるエラーはなく、ビット反転を引き起こすエラーのみを考える。そのようなエラーを引き起こす操作は

$$E = X_1^{e_1} X_2^{e_2} X_3^{e_3} \quad (233)$$

と書ける。ただし、 $e_1, e_2, e_3 = 0, 1$  である。仮に、 $|000\rangle$  がオリジナルのデータで、これに、 $e_1 = 1, e_2 = e_3 = 0$  のエラーが乗ったとすると、

$$E |000\rangle = X_1 |000\rangle = |100\rangle \quad (234)$$

となる。この状態のシンドローム値を完全に調べると、1 番目のビットに反転があることが分かるから、状態に再度  $X_1$  を作用させればもとの状態を復元することができる。

$$R|100\rangle = X_1|100\rangle = |000\rangle \quad (235)$$

これでエラー訂正が完了した。

### 6.3 スタビライザー符号

### 6.4 surface code

## 7 参考文献

- [量子コンピュータの基礎と物理の接点](#)は藤井さんによる講義ノート。
- [Quantum Computation and Quantum Information](#) は Nielsen, Chuang による古典的な教科書。10 版が無料公開されている。
- [Quantum Native Dojo](#) は株式会社 QunaSys が運営しているサイト。
- 古典論理回路については、例えば、「[論理回路](#) 高木直史 昭晃堂」